

# 将来計画JWST, TMT, WISHに向けた 様々な高赤方偏移銀河の輝線検出可能性

今日の話は  $z \sim 7$  以上の HII region 起源の輝線のみ

清水 一紘 (東京大学)

# Detectability of Line emission at Very High-z

## ● Ly $\alpha$ line

- ✓  $z > 8$  を超える観測例はなし
- ✓ IGM 吸収が強く効くため？

Brammer et al. 2013., Treu et al. 2013., Finkelstein et al. 2013

## ● [CII]158 $\mu$ m line

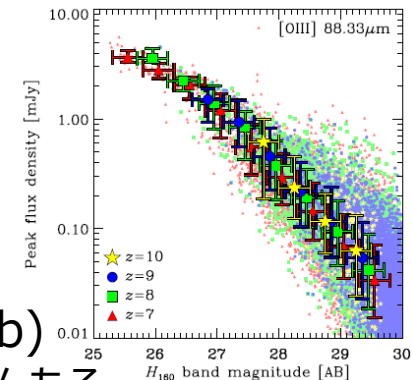
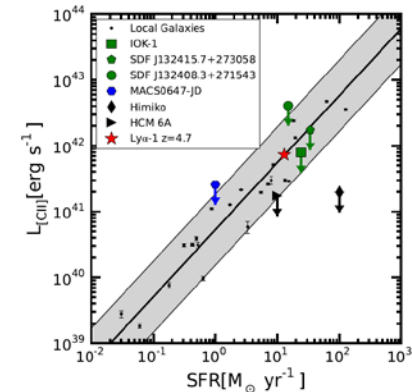
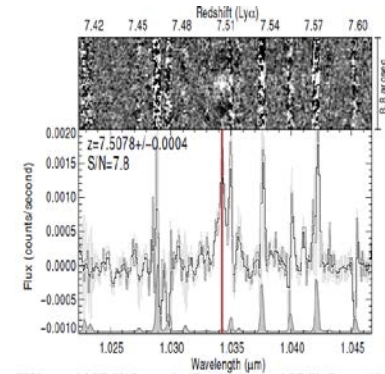
- ✓ ALMA の良いターゲット
- ✓ 多くの high-z LAEs で [CII] 輝線が受かっている
- ✓ High-z に行くほど LAE like な天体が増えてくる
- ✓ 主に PDR 起源の輝線のため放射機構が複雑

## ● [OIII]88 $\mu$ m line

- ✓ Metal ( $Z > 0.01Z_{\text{sun}}$ ) と HII region があれば出てくる
- ✓ HII region 起源の輝線のため放射機構が簡単
- ✓ ALMA の良いターゲット (Inoue, IS, et al. 2014)

## ● UV to optical line

- ✓ JWST, TMT の良い分光ターゲットになりうる
- ✓ WISH 等によって広域探査でターゲットを見つけられる
- ✓ CIII]1909 は実際観測されている (Stark et al. 2014b)
- ✓ [OII]3727, [OIII]4959, 5007 等明るい輝線がたくさんある



# Cosmological Hydrodynamic Simulation

- Cosmology (Planck 1<sup>st</sup> year)

$$(\Omega_m, \Omega_\Lambda, \Omega_b, h, \sigma_8) = (0.3175, 0.6825, 0.049, 0.6711, 0.8344)$$

- Simulation code :Gadeg3

radiative cooling/heating, star formation, SN & galactic wind feedback,  
radiation pressure, AGN like feedback (Okamoto et al.2008, 2009, 2014)

high-z から low-z における様々な観測を再現するモデル

- ✓ Stellar mass function ( $0 < z < 7$ )
- ✓ Star formation history
- ✓ Mass-metallicity relation
- ✓ Downsizing
- ✓ Star formation efficiency (Moster plot)

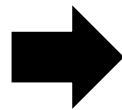
- Simulation setup

Boxsize :  $50\text{Mpc}^3/h^3$

Number of particles :  $2 \times 1280^3$

$M_{\text{dm}}$  :  $4.4 \times 10^6 M_{\text{sun}}$

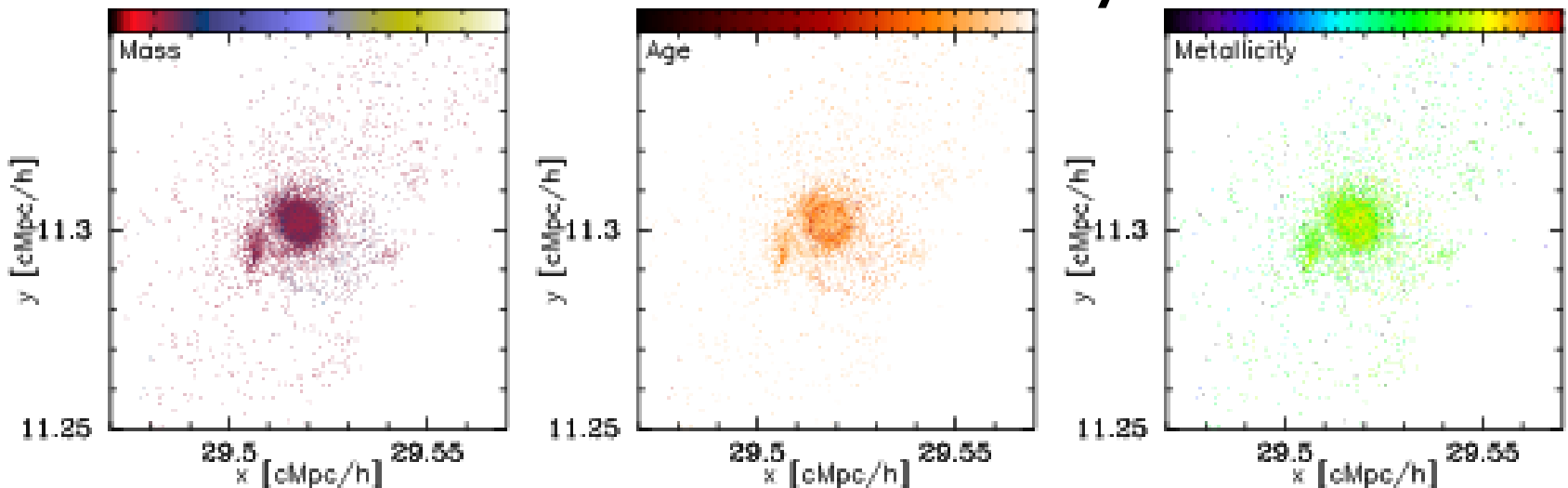
$M_{\text{gas}}$  :  $8.1 \times 10^5 M_{\text{sun}}$



Minimum halo mass:  $\sim 10^8 M_{\text{sun}}$

Minimum stellar mass:  $\sim 10^6 M_{\text{sun}}$

# Calculation of Galaxy SED



Simulation で出来た銀河内の各 star cluster data (星自体は分解できない)

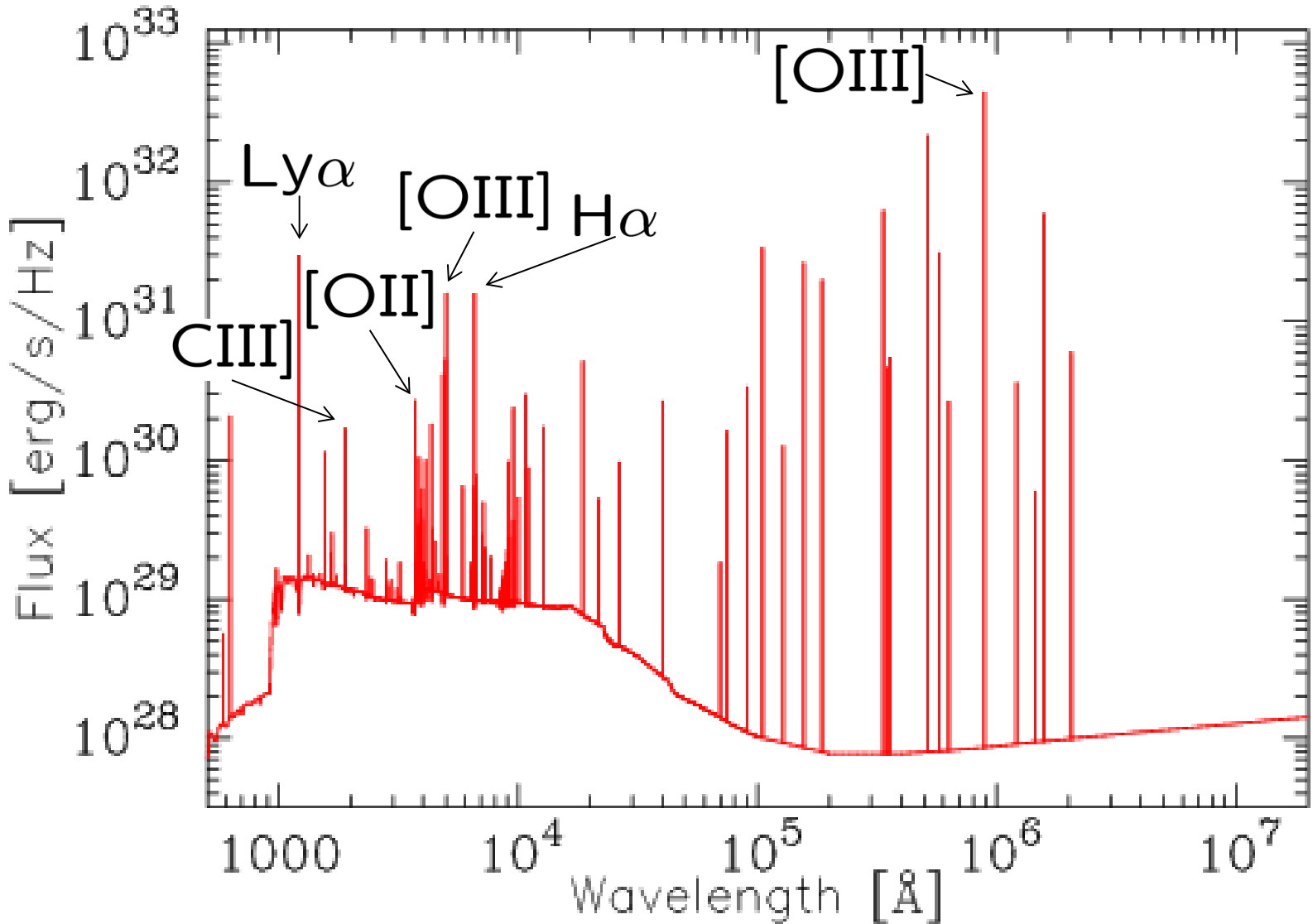
- IMF (Chabrier IMF)
- Current Mass (SN で mass loss するため)
- Age
- Metallicity

Calculation of intrinsic SED of galaxy

- PEGASE2 であらかじめ作っておいた、SED data を各 star cluster にアサイン
  - 各 star cluster の SED を足し合わせる
  - Nebular continuum も PEGASE2 で計算
  - 水素の輝線は case B でその他の輝線は Inoue 2011 を使う ( $L_{\text{line}} = aL_{\text{H}\beta}$ )
- Intrinsic SED = stellar continuum + **nebular continuum & line**

# Example of High-z Galaxy SED

Stellar continuum+ nebular continuum & line



# Calculation of Galaxy SED

Calculation of dust attenuation at UV (= 1500Å)

$$f_{UV} = \frac{1-\delta}{2}(1 + e^{\tau_d}) + \frac{\delta}{\tau_d}(1 - e^{\tau_d})$$

$$\tau_d = \frac{3\Sigma_d}{4as} \leftarrow \Sigma_d = e_{\tau} \frac{M_{\text{metal}}}{\pi r_{\text{half}}^2} \rightarrow \text{simulation から求める}$$

$\delta$ :slab fraction,(0~1) ,  $a$ :dust grain size (0.05  $\mu\text{m}$ ),  $s$ :dust grain density (2.5  $\text{g}/\text{cm}^3$ )

UV luminosity function を再現するように、パラメータ  $\delta$ ,  $e_{\tau}$  を調整

Calculation of dust attenuation at the other wavelength

- Calzetti law (Calzetti et al. 2000)  $\Rightarrow$  さまざまな Extinction law 対応可能

Calculation of dust attenuation for line

- Calzetti law, e.g.,  $E(B - V)_* = 0.44E(B - V)_{\text{gas}}$

Calculation of IGM absorption ( $\lambda < 1216\text{\AA}$ )

- Madau 1994  $\Rightarrow$  Inoue, IS et al. 2014 に変える予定

# Calculation of Galaxy SED

Calculation of dust emission (e.g., Shimizu et al. 2012)

- ✓ Dust mass は、metal mass の 50%
- ✓ Dust に吸収された、光子は FIR ですべて再放出

- Dust temperature

$$T_d = \alpha \left( \frac{L_d}{M_d} \right)^{\frac{1}{1+\beta}}$$

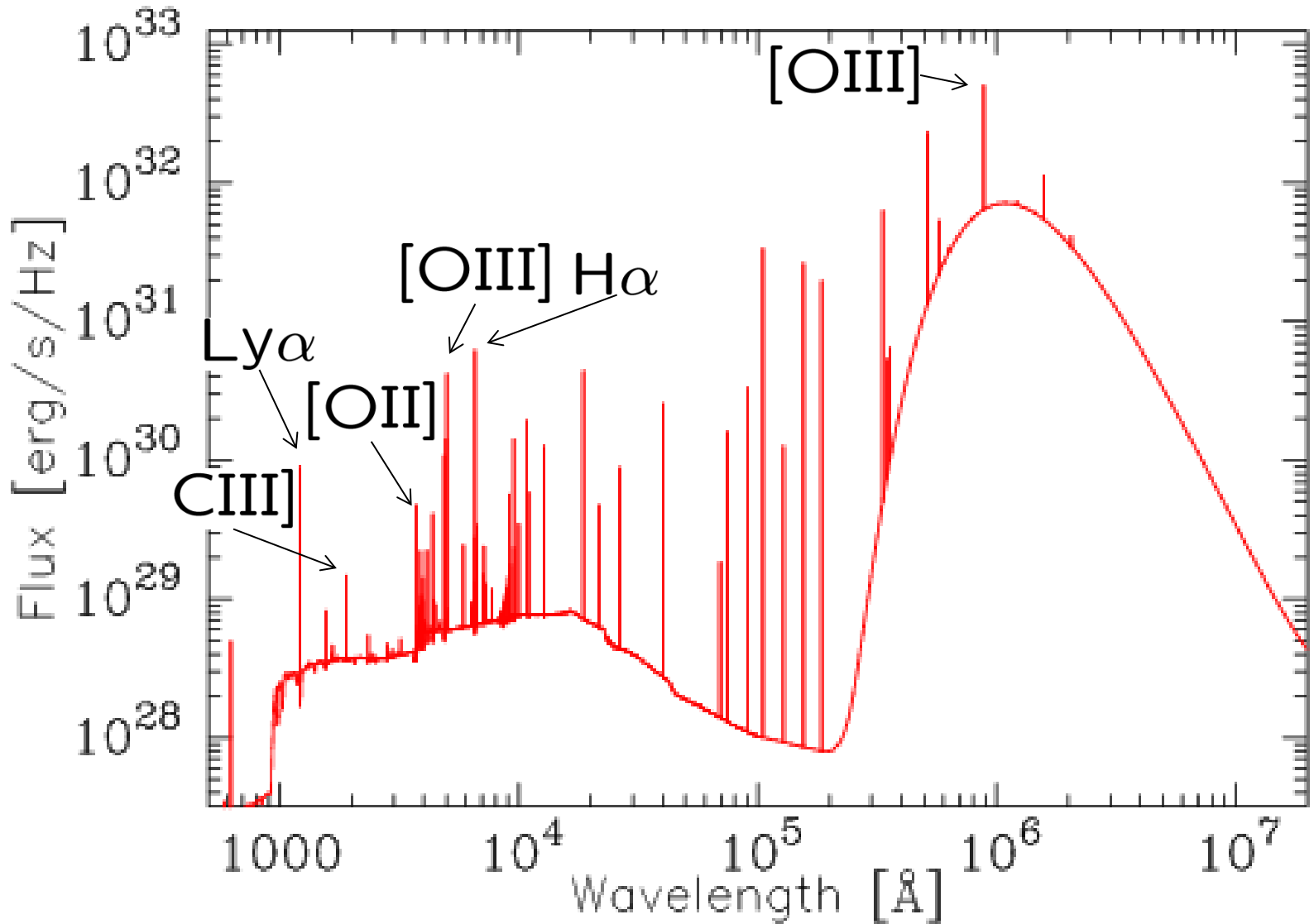
$$\left\{ \begin{array}{l} L_\nu = 4\pi M_d \kappa_\nu B_\nu(T_d) \\ \kappa_\nu = \kappa_0 \left( \frac{\nu}{\nu_0} \right)^\beta \\ L_d = \int [L_\nu^{\text{int}} - L_\nu^{\text{ad}}] d\nu = \int L_\nu d\nu \end{array} \right.$$

- Dust emission

$$f_\nu = \frac{(1+z)L_\nu(1+z)}{4\pi d_L^2}$$

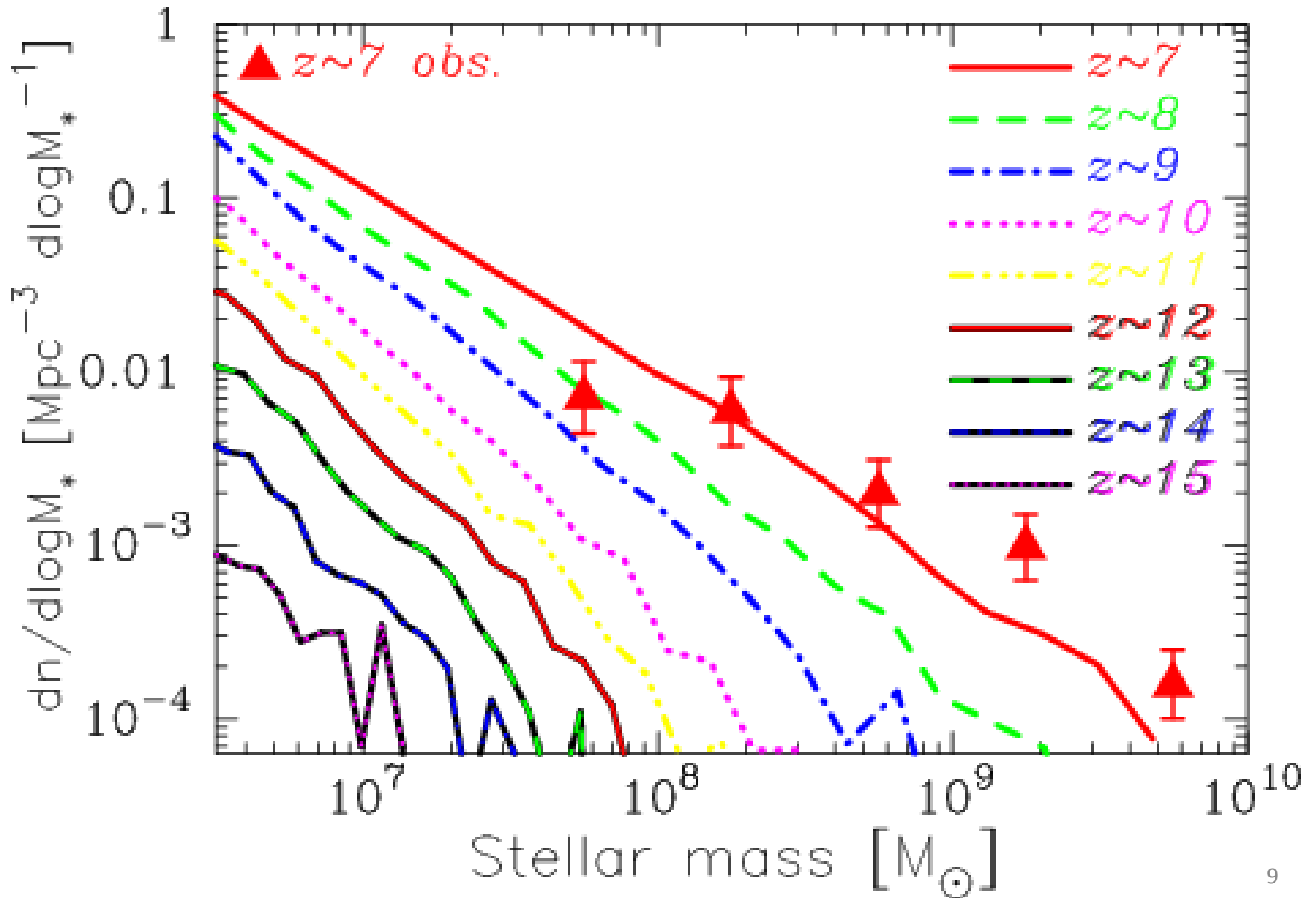
# Example of High-z Galaxy SED

Stellar continuum + nebular continuum & line + dust emission

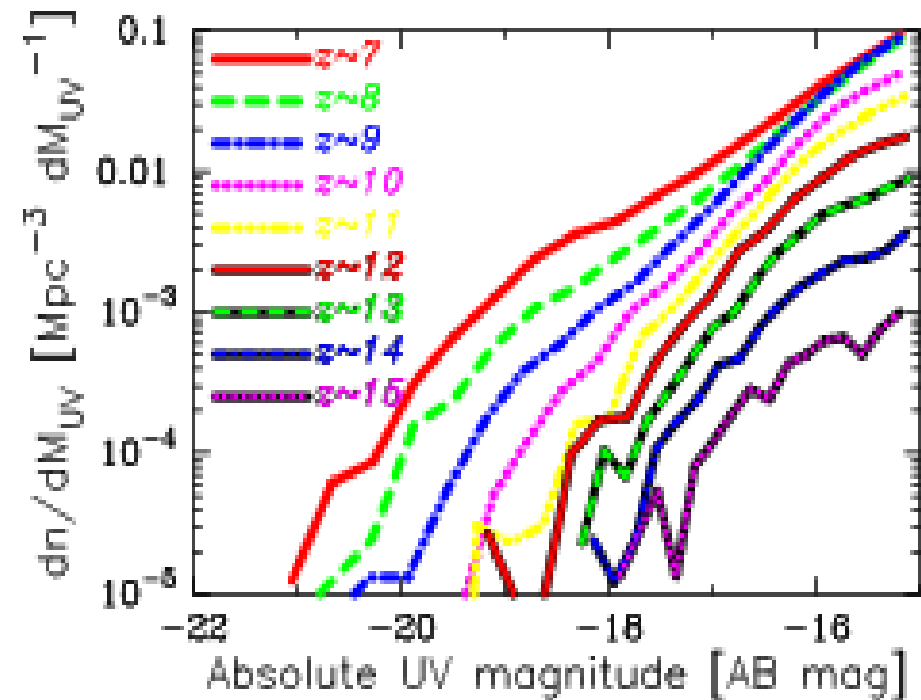
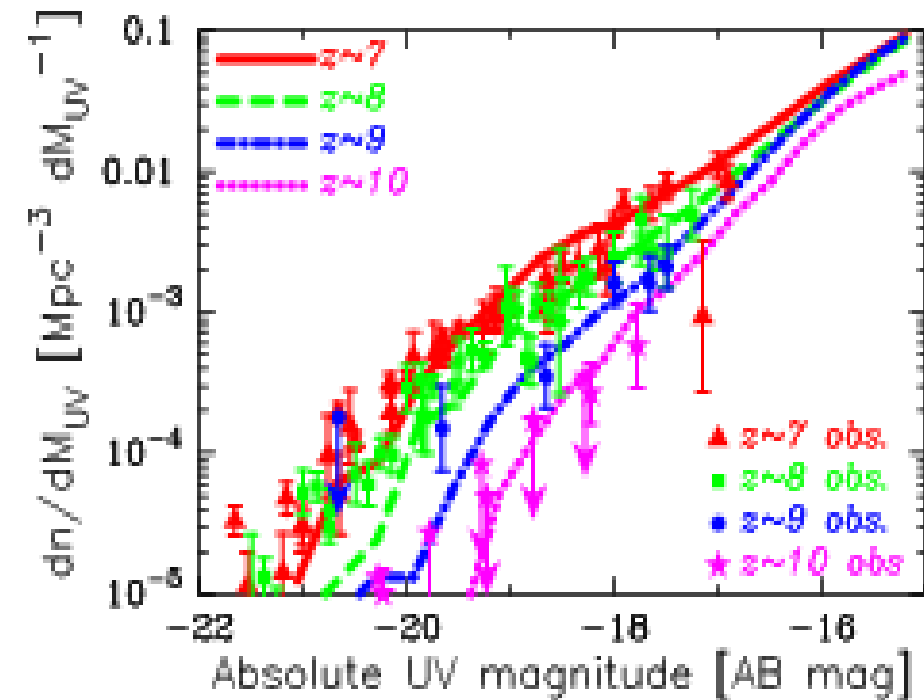




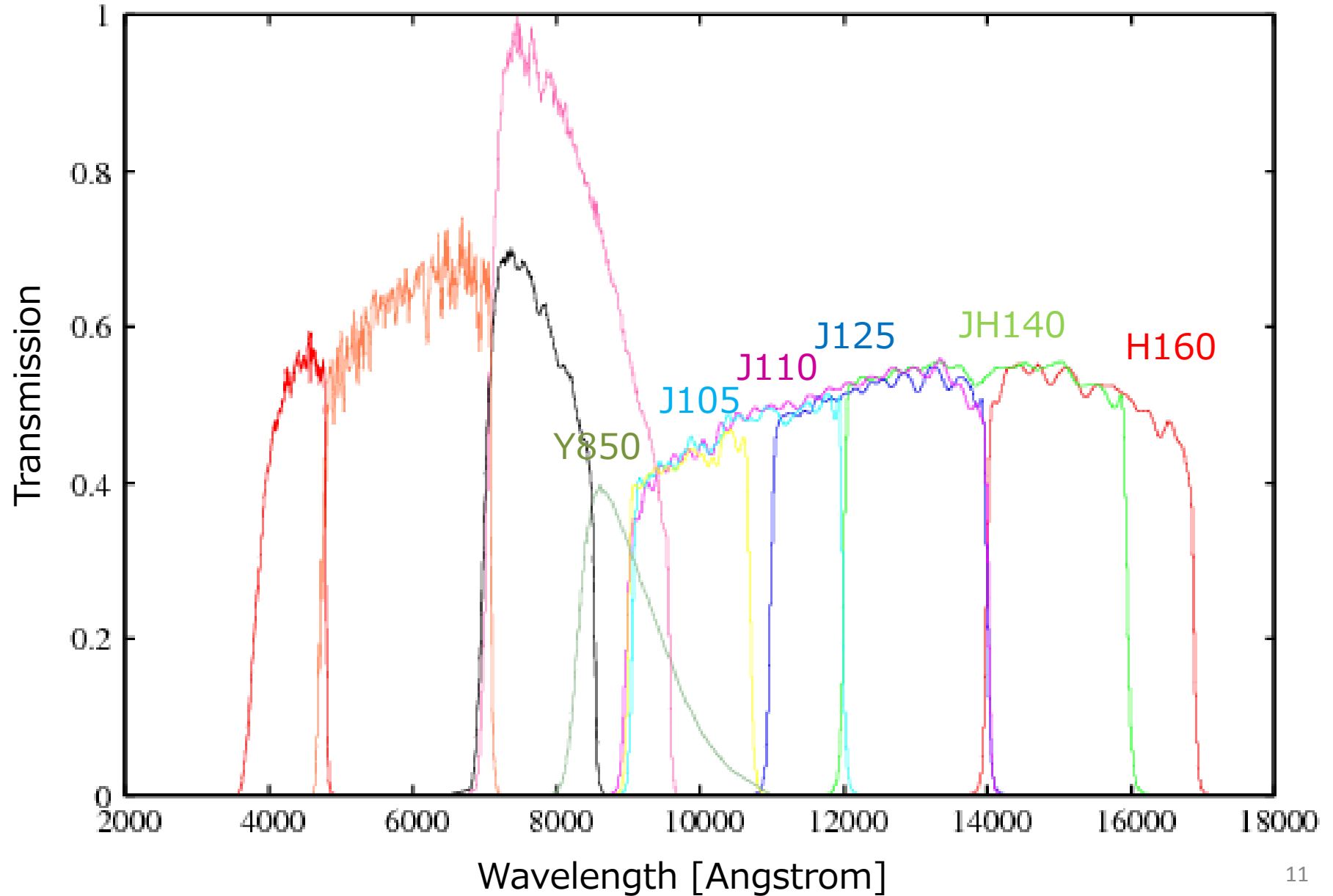
# Stellar Mass Functions ( $7 < z < 15$ )



# UV Luminosity Functions ( $7 < z < 15$ )



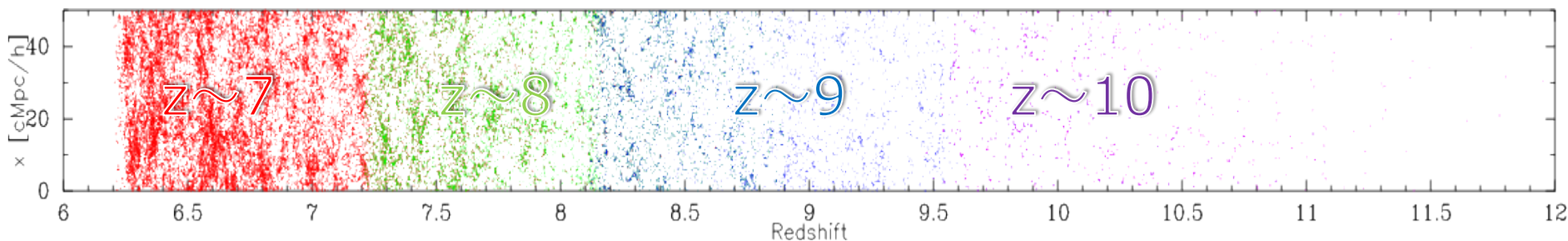
# Hubble Broad Band Filters



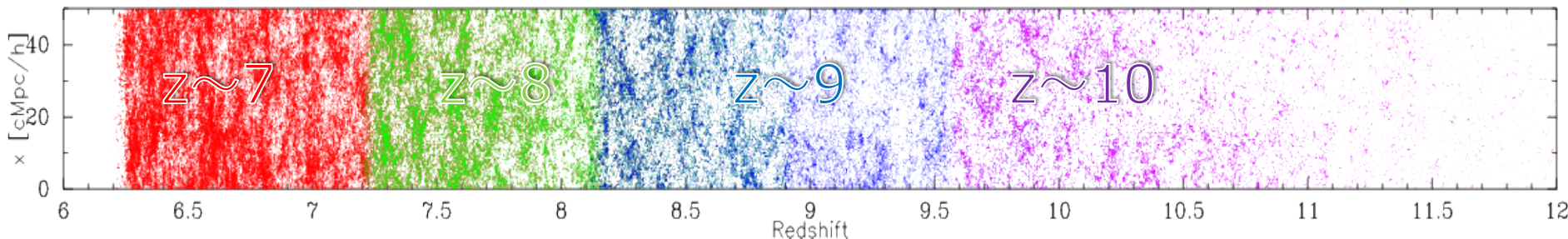
# Color Selected Galaxies in Light-Cone

- 観測と同じ color selection で各赤方偏移の銀河を同定  
( $z=7, 8, 10$ : Bouwens et al. 14,  $z=9$ : Oesch et al. 13)

$H_{160} < 30$  (for Hubble)

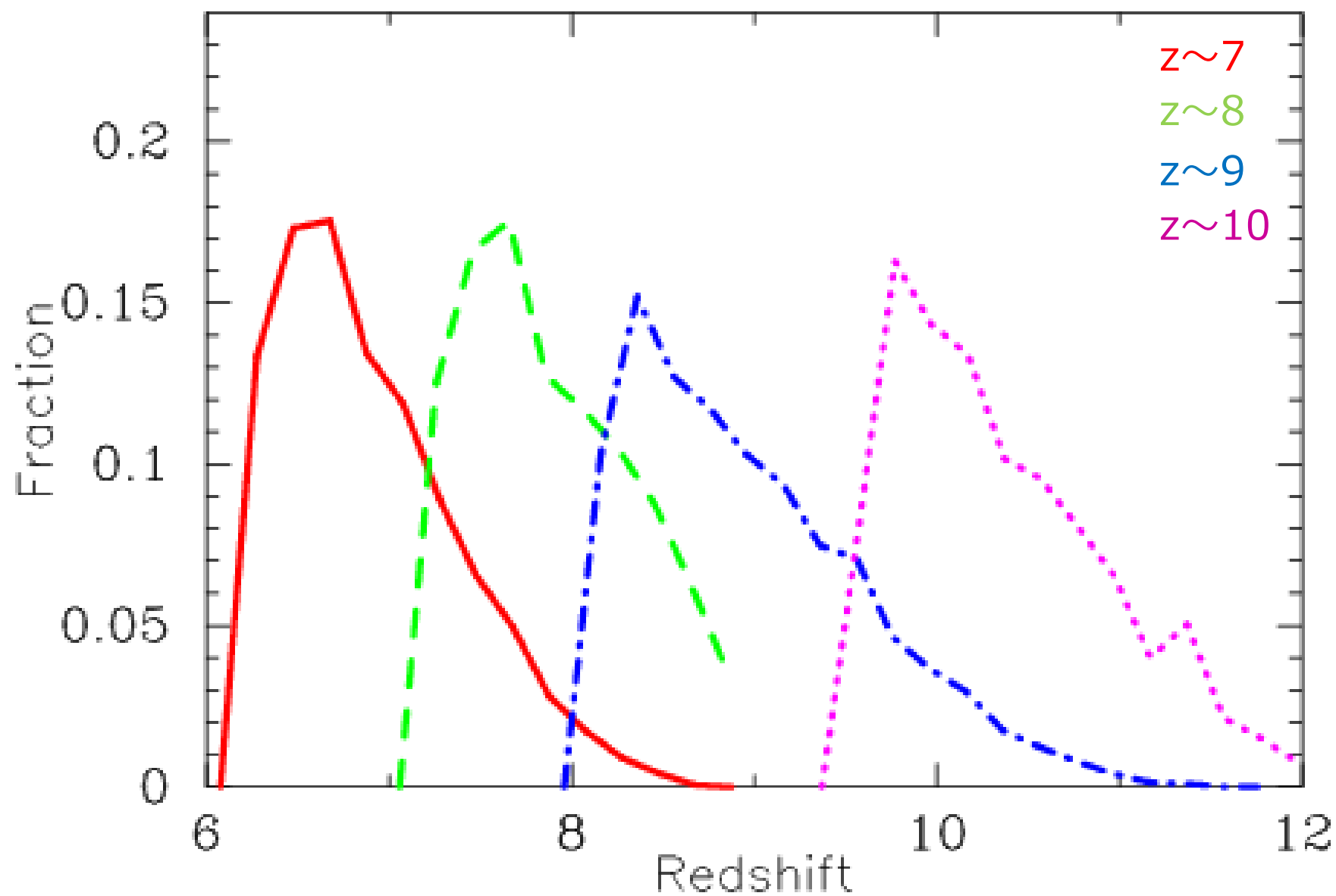


$H_{160} < 32$  (for JWST)



FOV  $\sim 0.16$  deg<sup>2</sup>

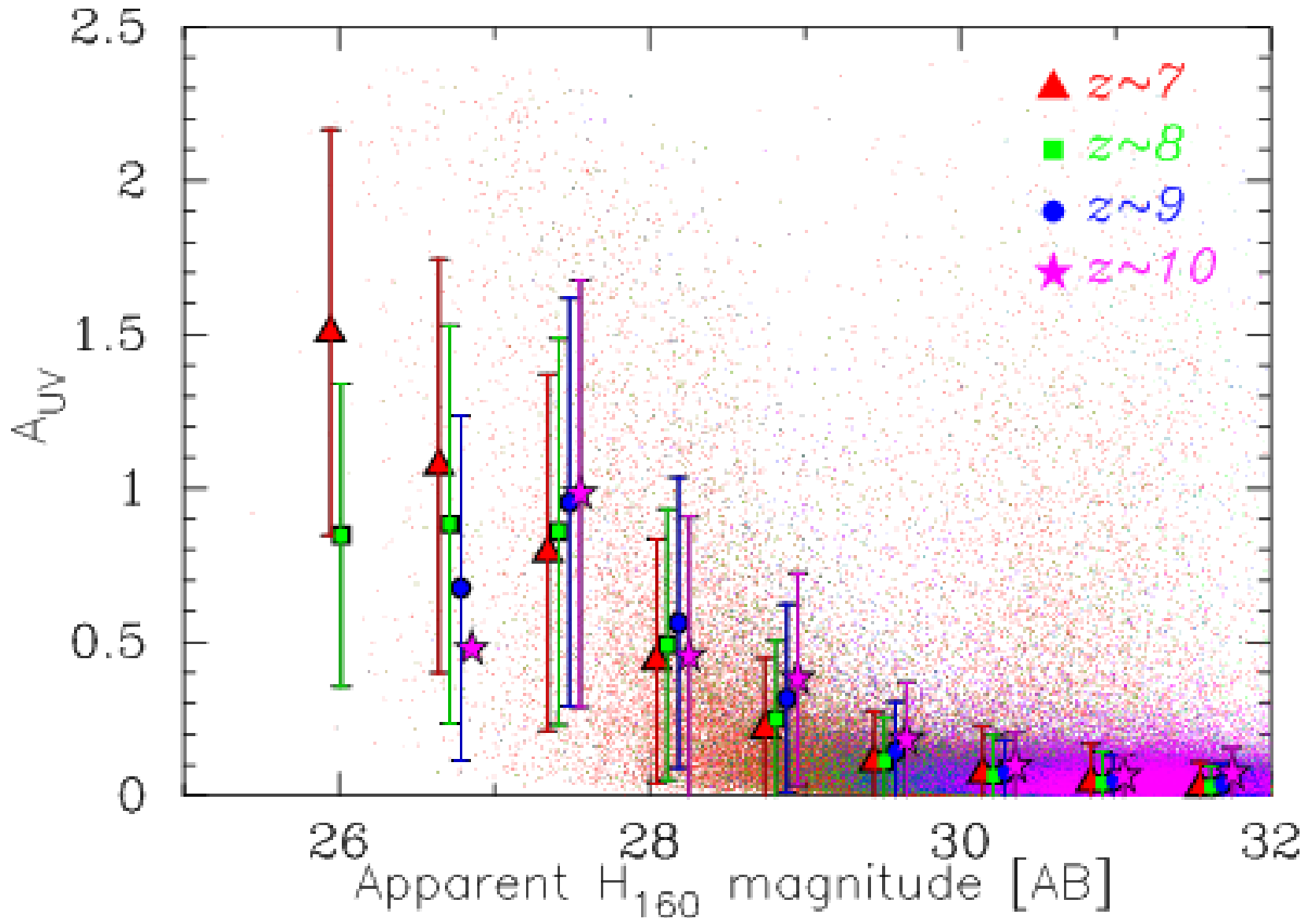
# Color Selection Efficiency



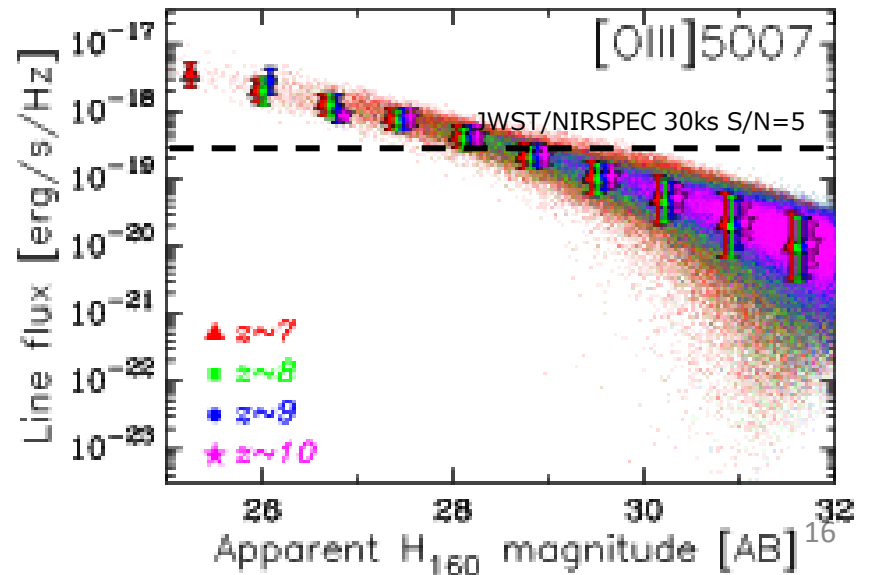
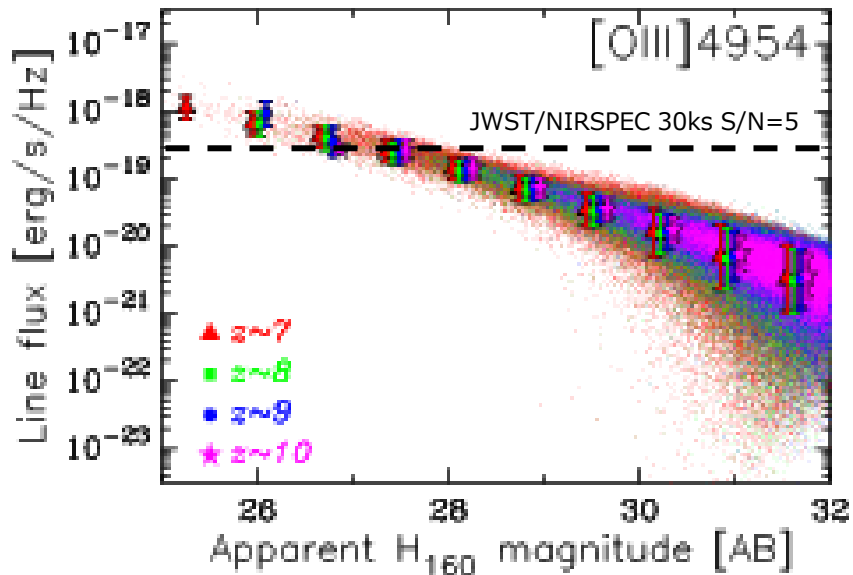
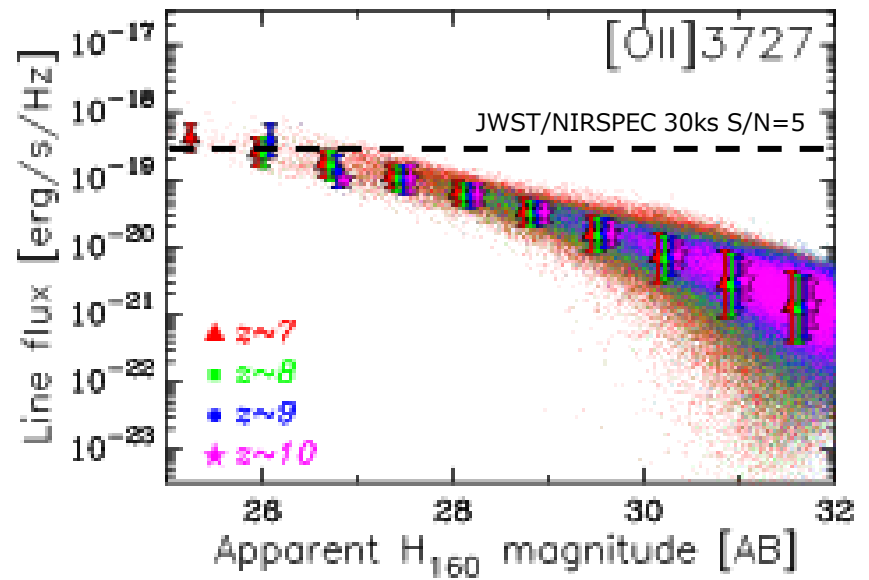
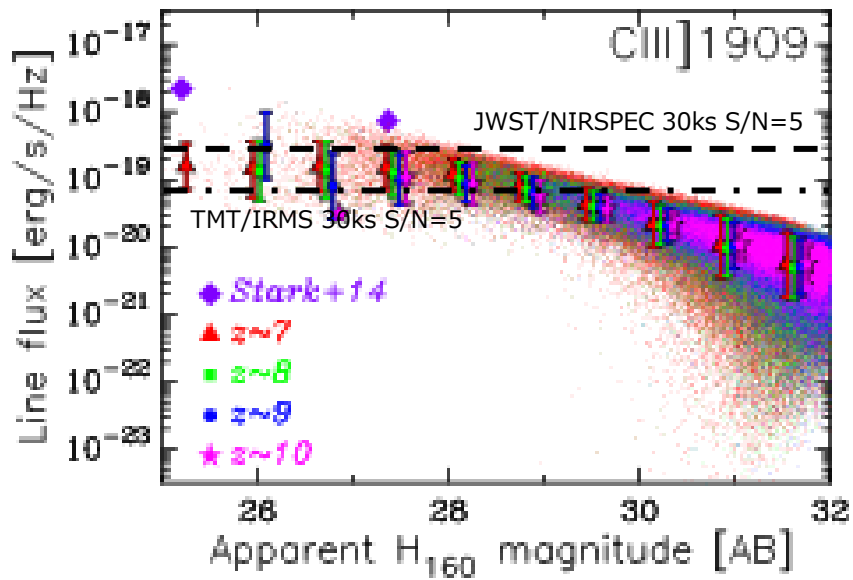
# HST + JWST & TMT

JWST/NIRSPEC	0.6 ~ 5 $\mu\text{m}$
TMT/IRMS	0.8 ~ 2.5 $\mu\text{m}$

# H<sub>160</sub> Magnitude-A<sub>UV</sub>

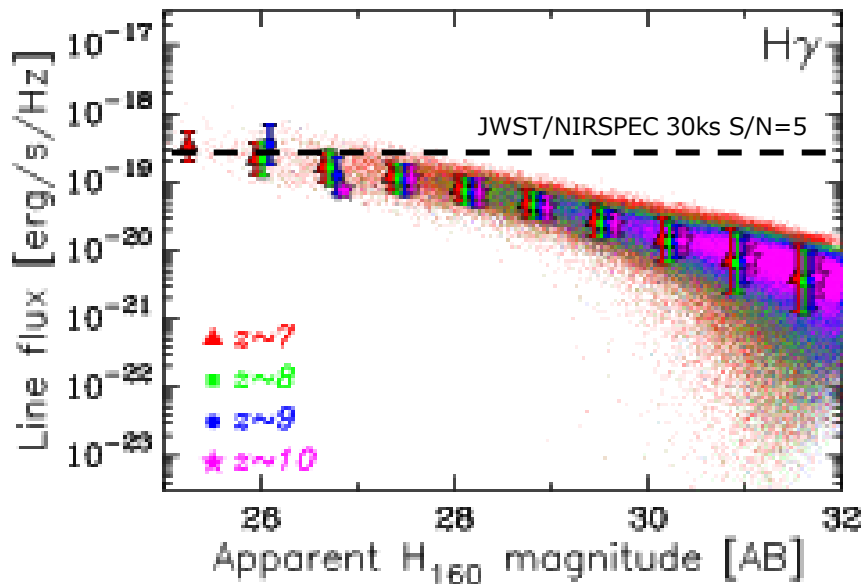
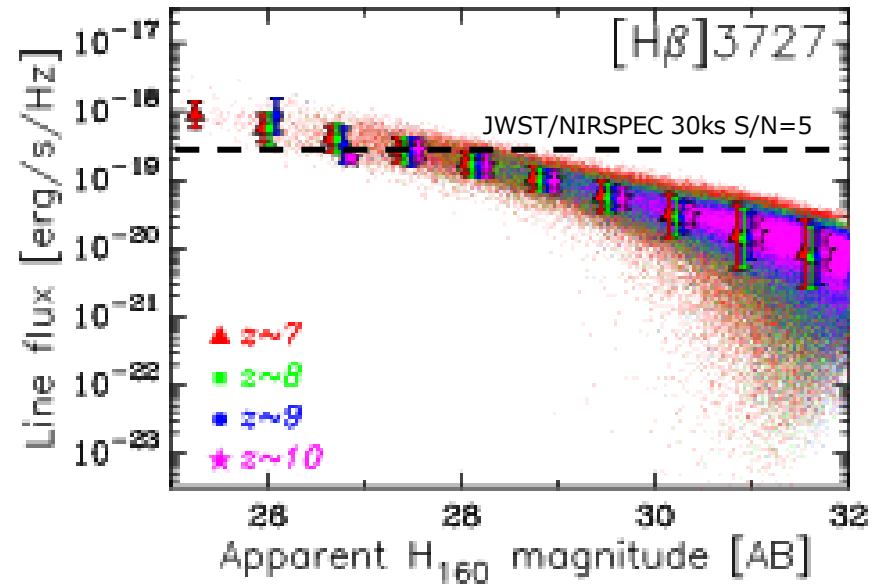
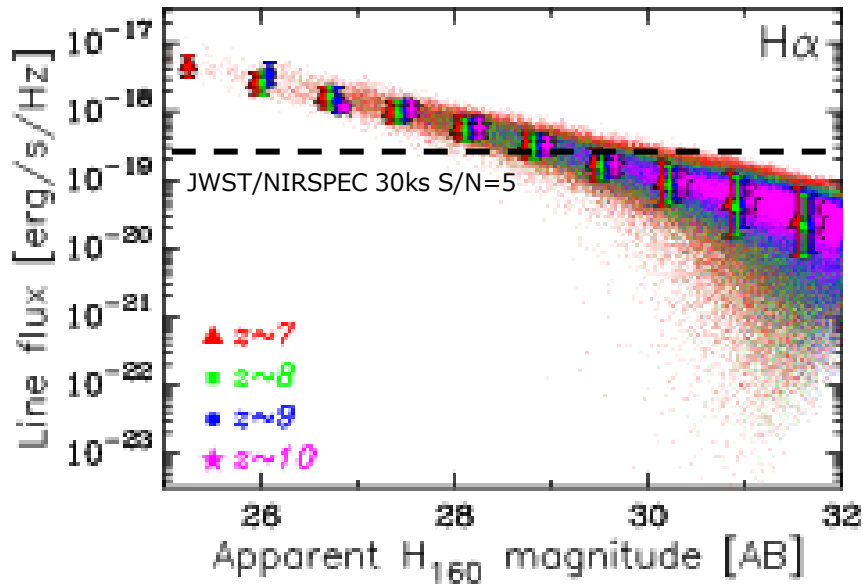


# Metal Lines





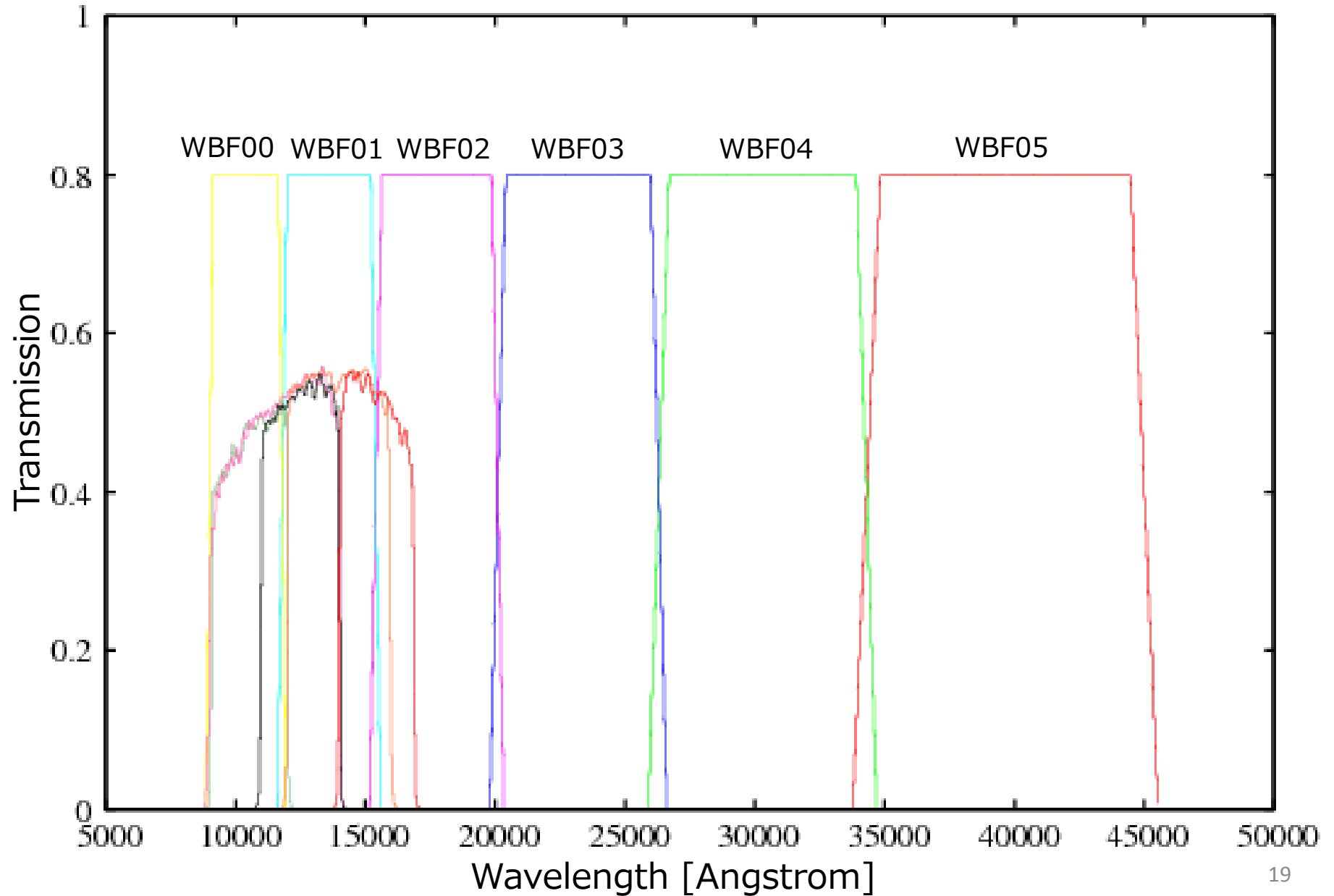
# Hydrogen recombination lines



# WISH + JWST & TMT

JWST/NIRSPEC	0.6 ~ 5 $\mu\text{m}$
TMT/IRMS	0.8 ~ 2.5 $\mu\text{m}$

# WISH Broad Band Filters

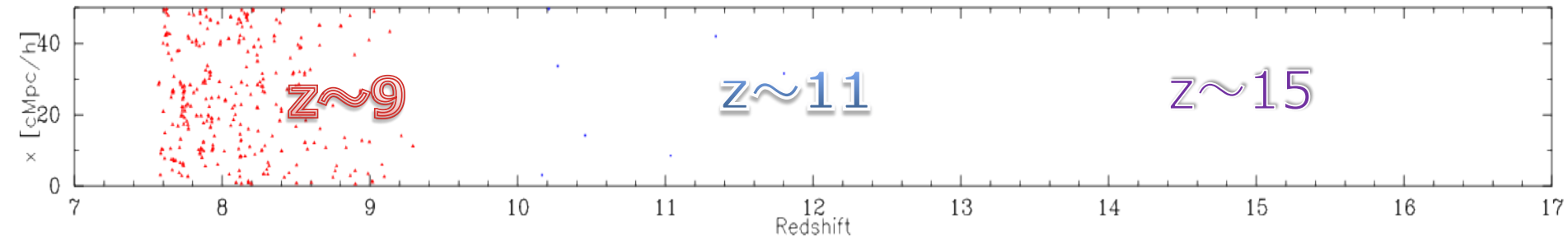


# Simulated Galaxies in Light-Cone

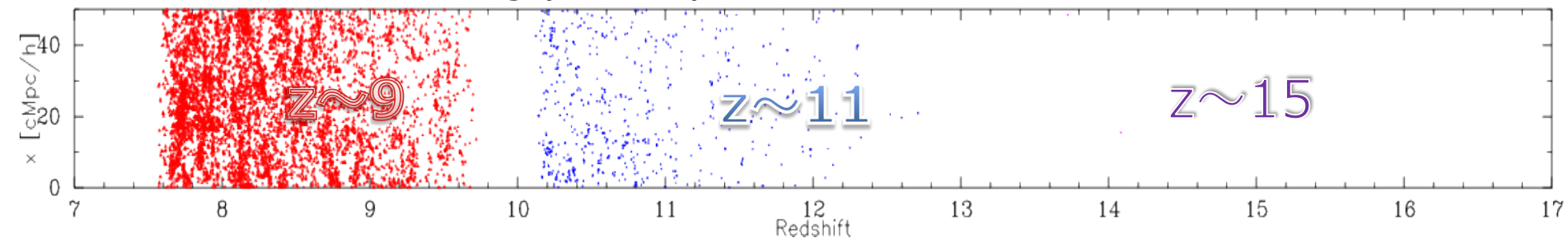
- WISH color selections for  $z \sim 9$ , 11, 15

FOV  $\sim 0.14 \text{ deg}^2$

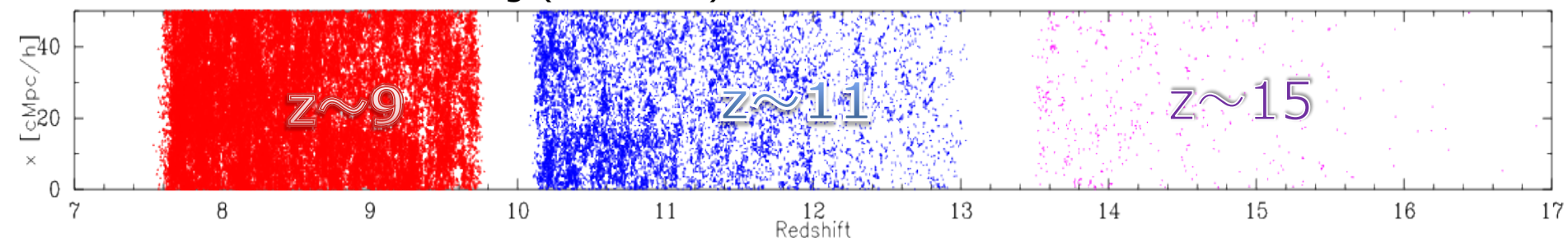
Detection limit  $< 28 \text{ mag}$  (for wish)



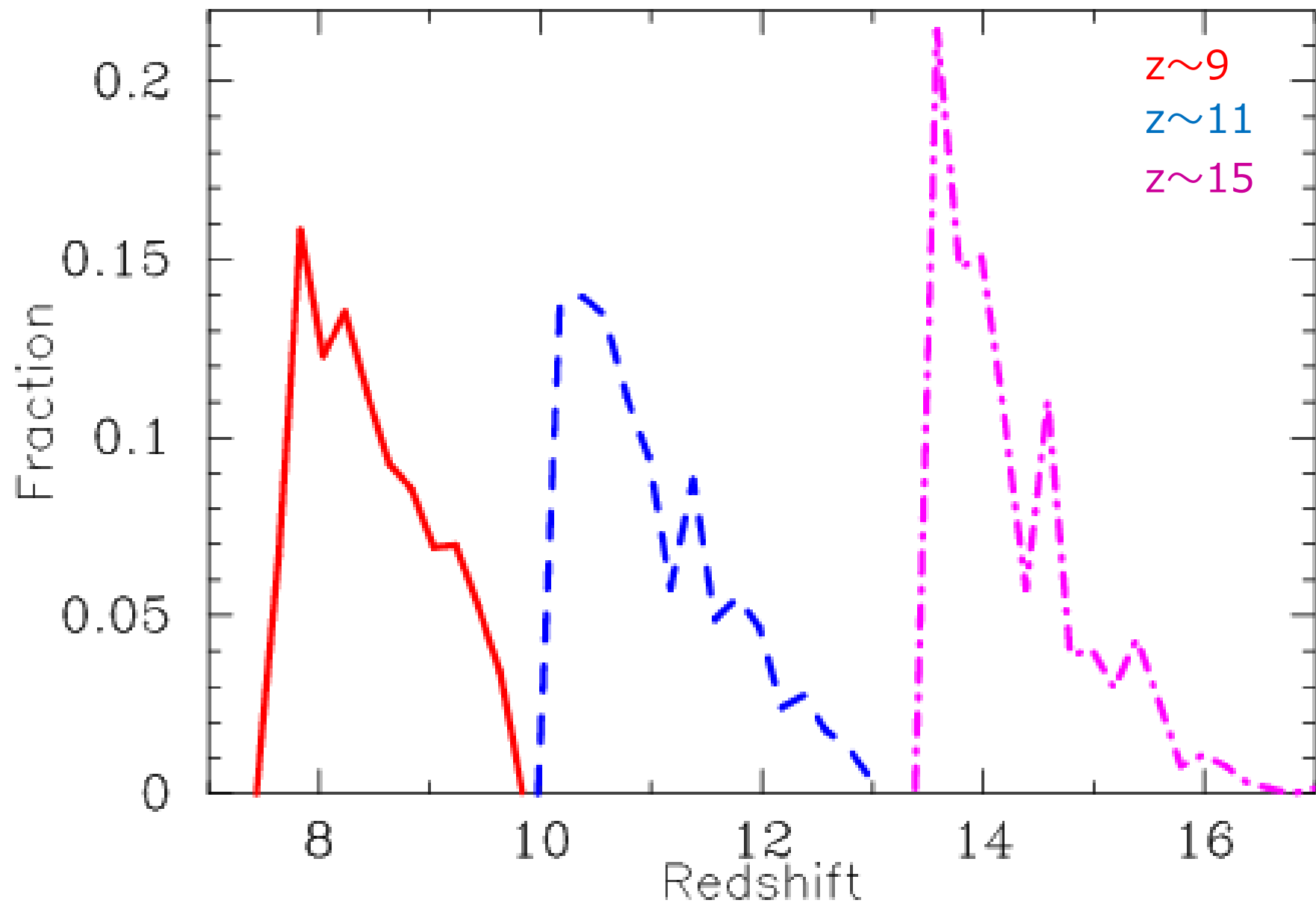
Detection limit  $< 30 \text{ mag}$  (for wish)



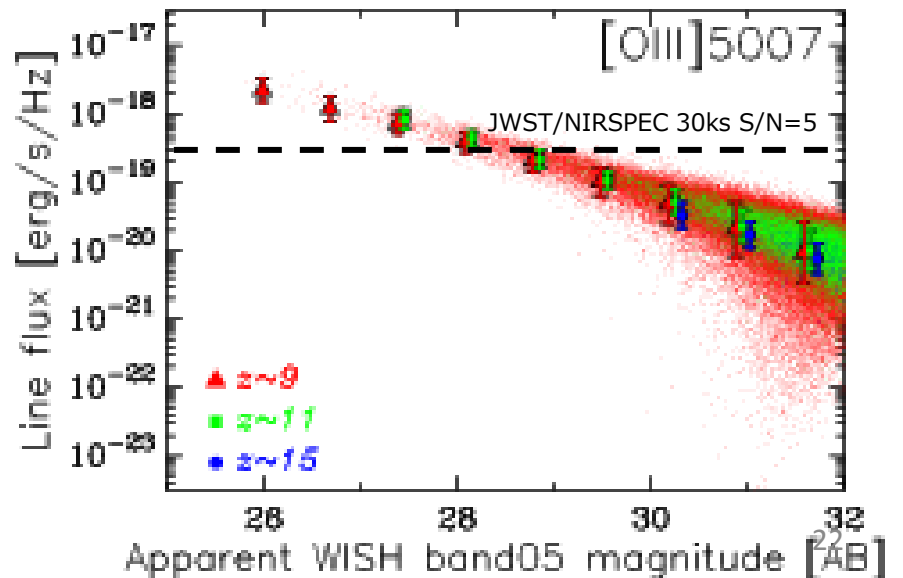
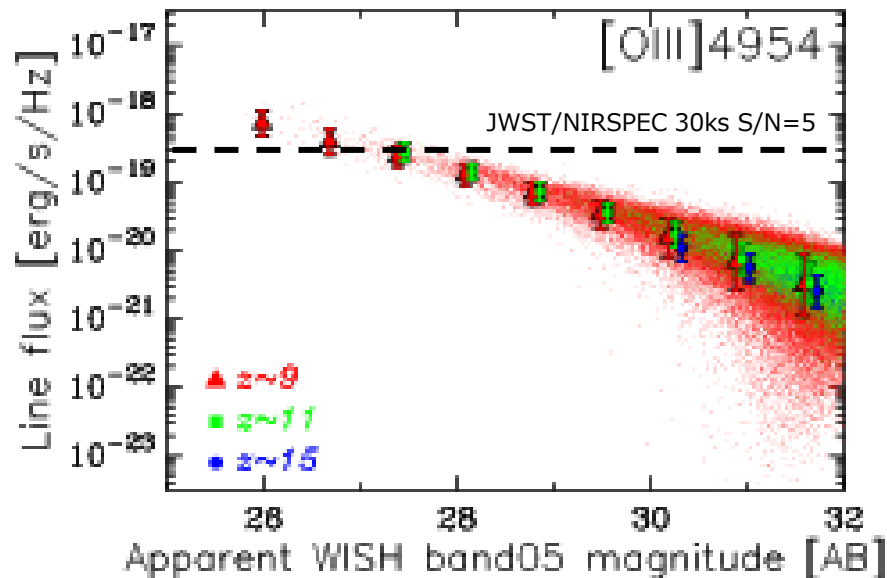
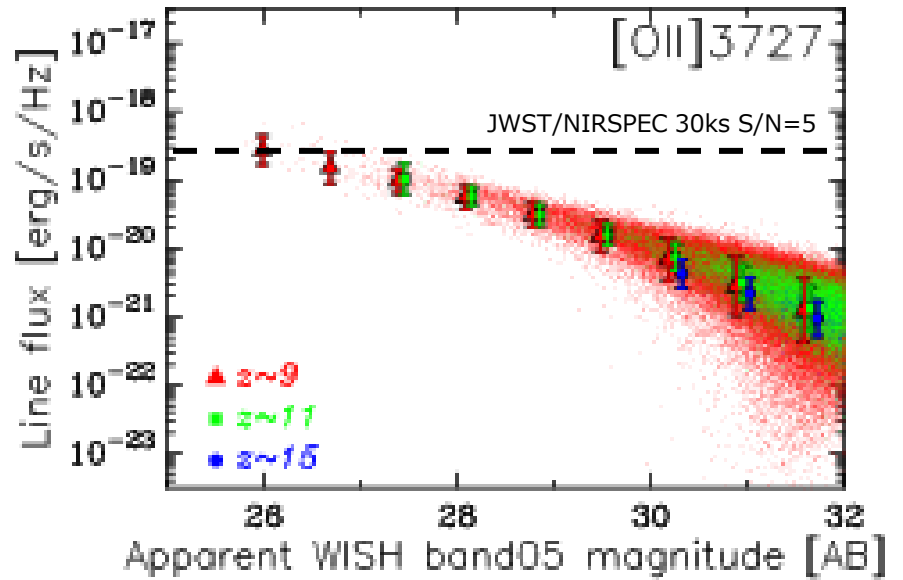
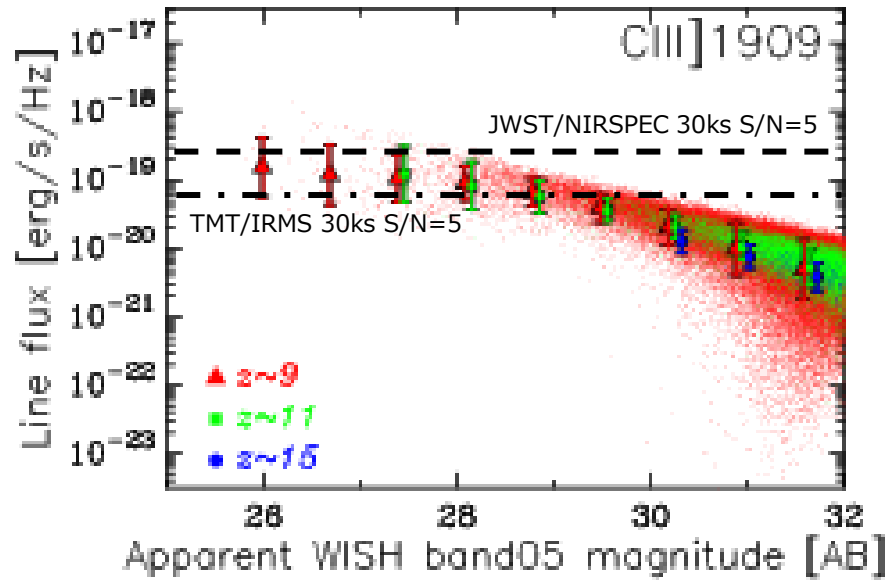
Detection limit  $< 32 \text{ mag}$  (for JWST)



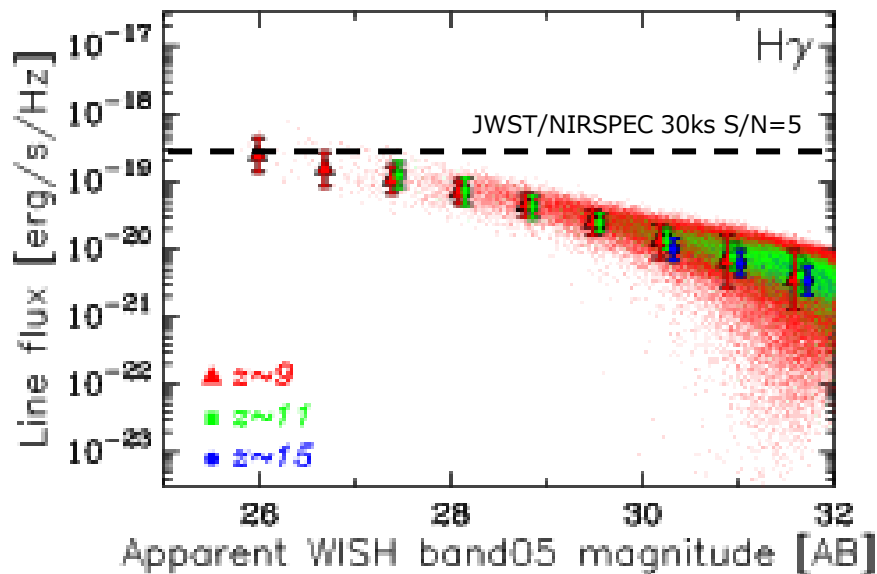
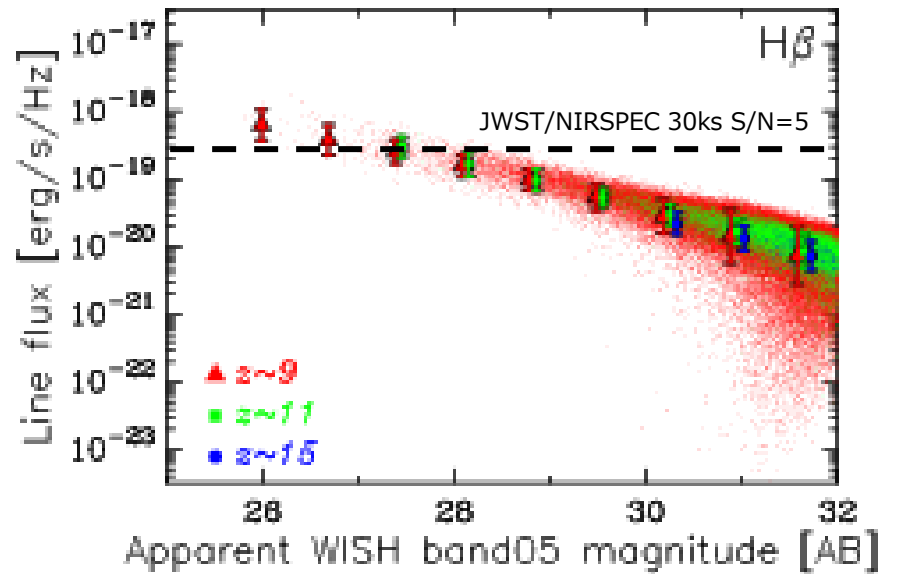
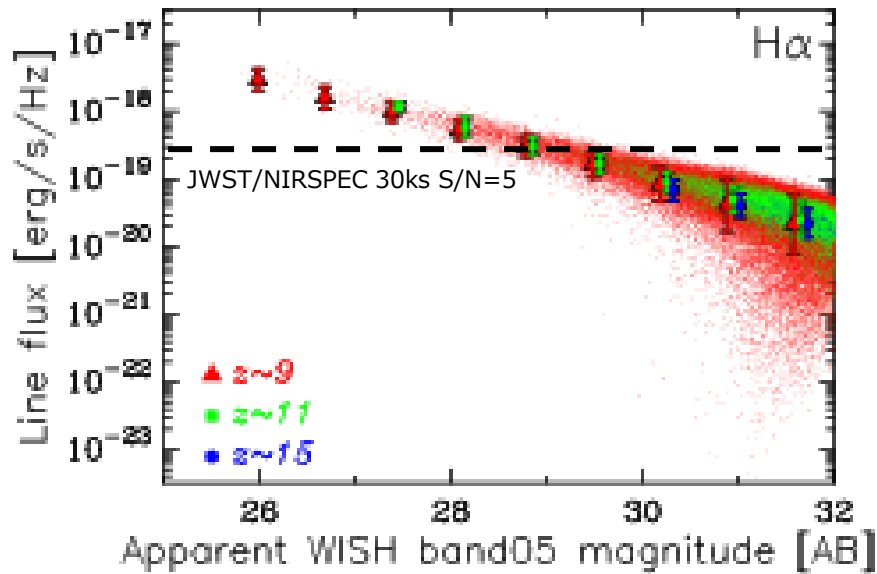
# Color Selection Efficiency



# Metal Lines



# Hydrogen recombination lines



# Summary

- [OIII] 88 micron は ALMA の良いターゲット
  - ✓ WISH 等で観測ターゲットは今後増えていくはず
  - ✓  $H < 28$  で  $z \sim 10$  でも余裕で ALMA で観測可能
- [CIII]1909 は TMT/ELT の良いターゲット
  - ✓ 銀河内構造を分解してしまうと、観測できない可能性も
- Optical [OIII], H $\alpha$ , H $\beta$  は JWST の良いターゲット
  - ✓ ISM physics や chemical condition
  - ✓ [OIII]5007 line は  $WB05 < 29$  であれば観測可能
- WISH で今後  $10 < z < 13$  の銀河が多く発見されるはず
  - ✓ JWST や TMT/ELT などでフォローアップが必要不可欠
  - ✓ [CIII], H $\alpha$ , H $\beta$ , [OIII]5007 が良い輝線ターゲットか？